

図 3.4-2(1) ライターの国別集計結果（第1回）

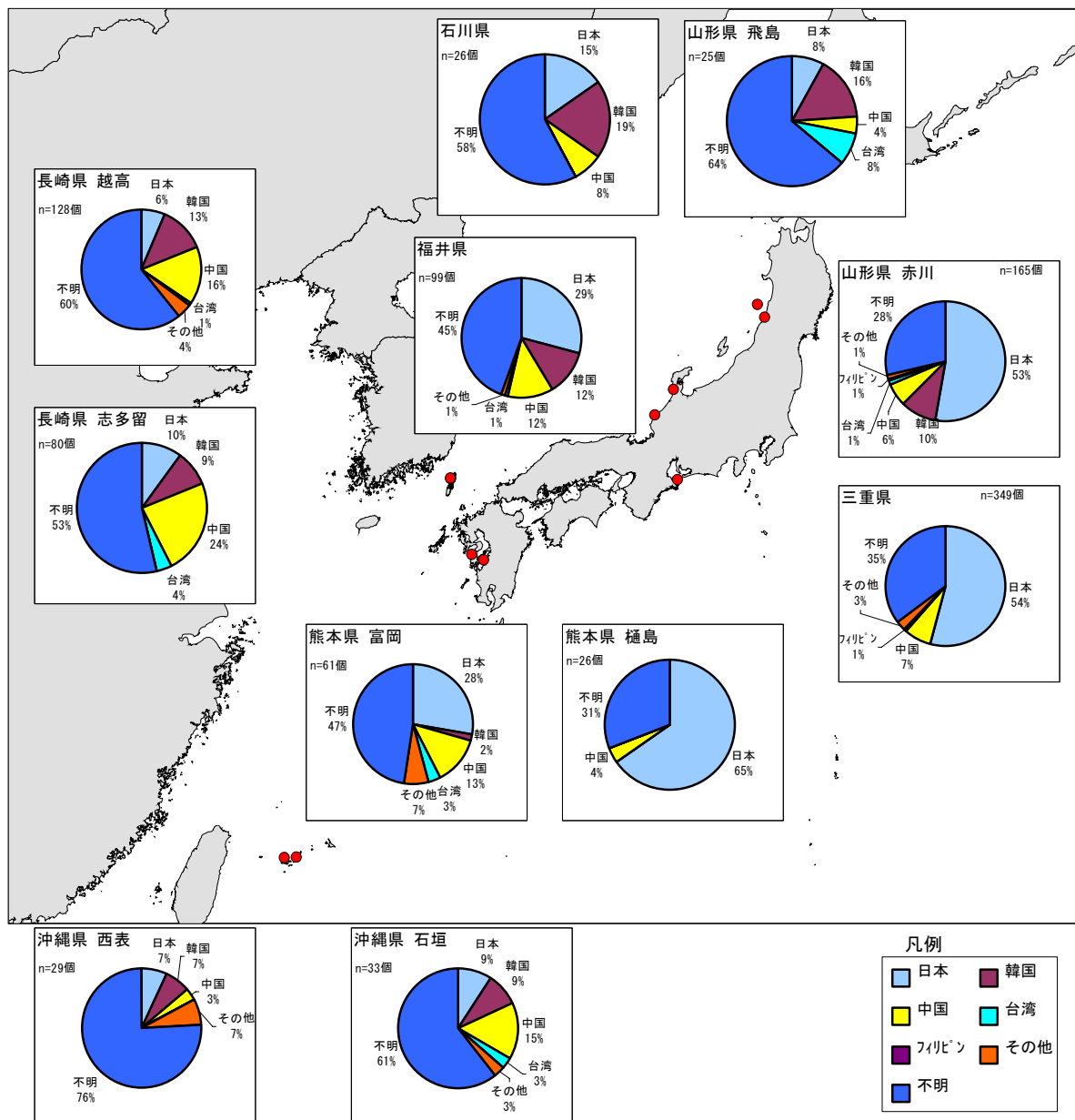


図 3.4-2(2) ライターの国別集計結果（第2回～第6回）

3.5 国際的削減方策調査結果からの検討

3.5.1 漂着ライターの調査結果による漂流メカニズムの検討

平成19年度漂流・漂着ゴミに係る国際的削減方策調査業務（以下、国際的削減方策調査という）から、東シナ沿岸各地における漂着ライターの国別割合を図3.5-1に示す。この結果は、藤枝・小島(2003)⁷⁾及び藤枝先生ご提供データである。

石垣島では、中国・台湾製が約60%、韓国製が約10%、日本製が約30%となっている。この結果には国籍不明のものは含まれないので、本調査の結果から国籍不明を除くと、第2回～第6回の合計で中国・台湾製が約46%、韓国製が約23%、日本製が約23%となっており、本調査では韓国製の割合が高いものの概ね同じ傾向を示し、両調査結果の一致性は良好と考えられる。

<出典>

- 7) 藤枝繁・小島あづさ(2006)東アジア圏域における海岸漂着ごみの流出起源の推定、沿岸域学会誌、18、15-22.

3.5.2 ライターを想定した漂流メカニズムの検討

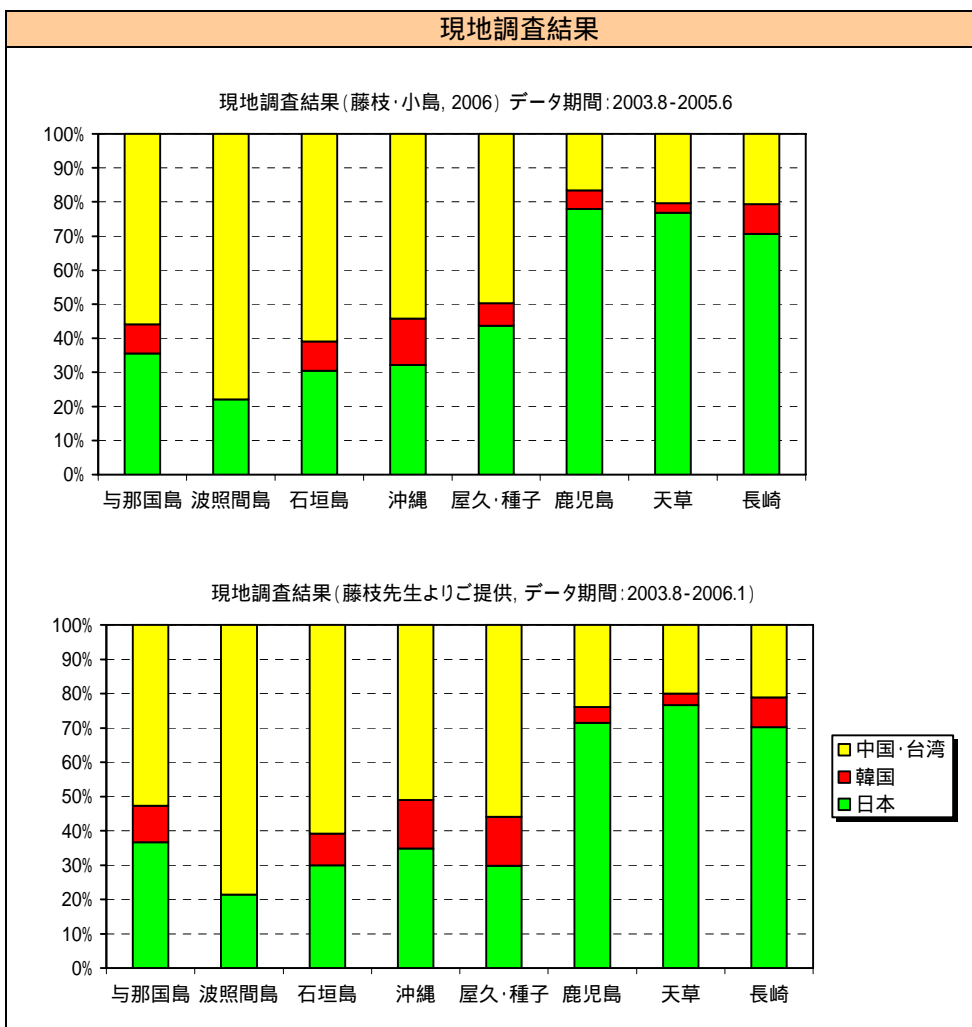
国際的削減方策調査では、ライターを想定した東シナ海沿岸からの漂流シミュレーションを実施している。図3.5-2に示す投入条件で計算を開始し、図3.5-3に示すシミュレーション結果が得られている。これをみると、夏季には日本起源と中国起源が、秋季には中国起源と台湾起源のライターが石垣島北側の近海を漂流する結果となっている。秋季にはゴミ漂着の起因となる北東の季節風が吹き始めるため、このシミュレーションケースでは、秋季の中国起源と台湾起源のライターが石垣島に漂着する可能性があると考えられる。

3.5.3 漁業用フロートを想定した中国沿岸からの漂流経路

国際的削減方策調査では、漁業用フロートの中国沿岸からの漂流経路の予測を行っている（沈下率は、1:1に設定している）。シミュレーションにおける漁業用フロートの投入位置を図3.5-4に、計算結果を図3.5-5に示す。

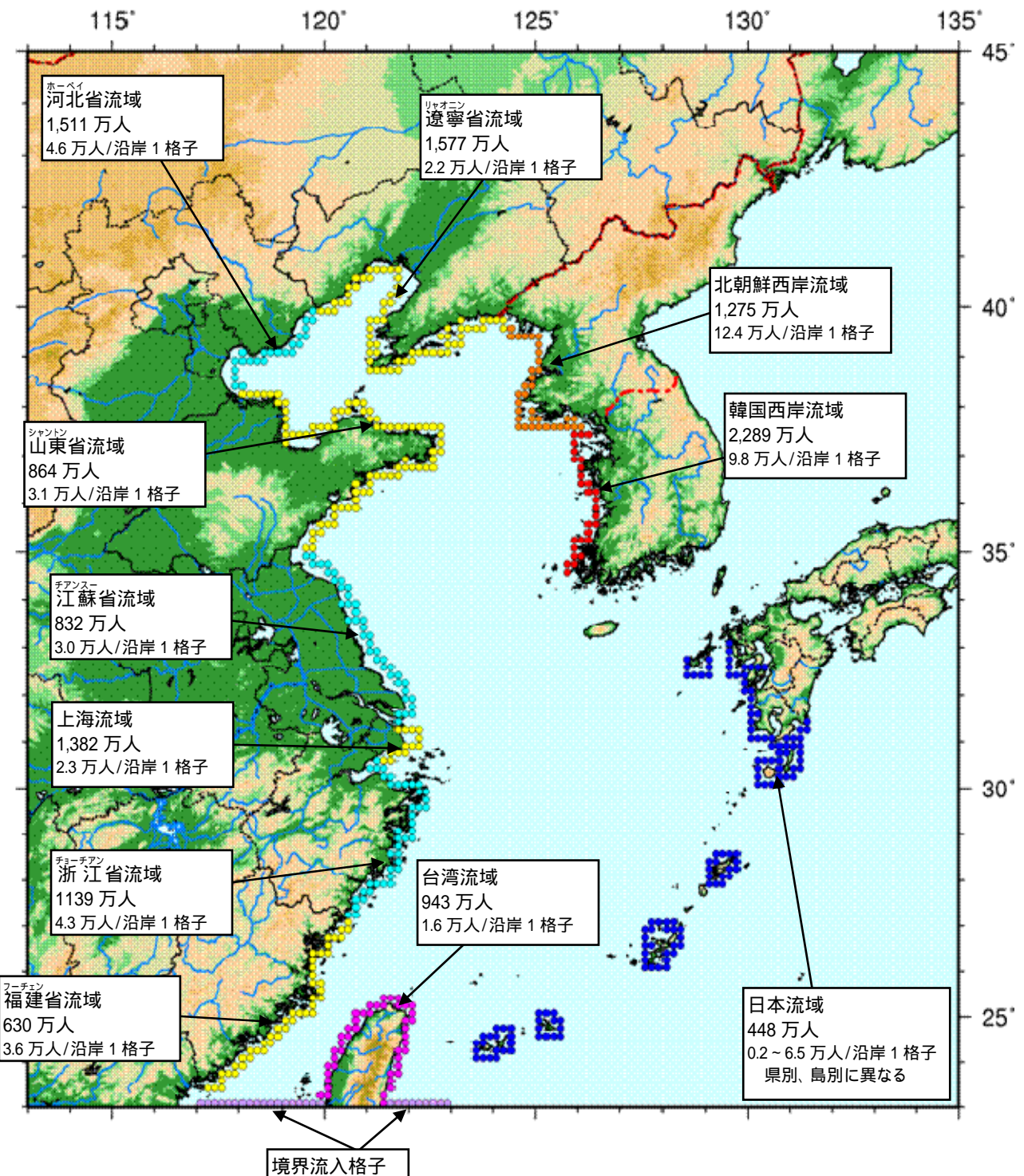
このシミュレーション結果をみると、エリアB黄海北部、エリアC黄海南西部、エリアD揚子江河口沖、エリアE浙江(チヨーチアン)省沖合、エリアF台湾海峡、エリアH日中間線付近で投入されたフロートは東シナ海に流出した後に石垣島北側の近海を漂流し、またエリアG台湾東部（黒潮主流域）で投入されたフロートは石垣島近傍を漂流する結果となっている。

エリアB～E、F、Hで投入されたフロートは、冬季の北東からの季節風の影響で石垣島に漂着する可能性があり、また、エリアGで投入されたフロートは、黒潮に乗って石垣島に到達する可能性があると考えられる。



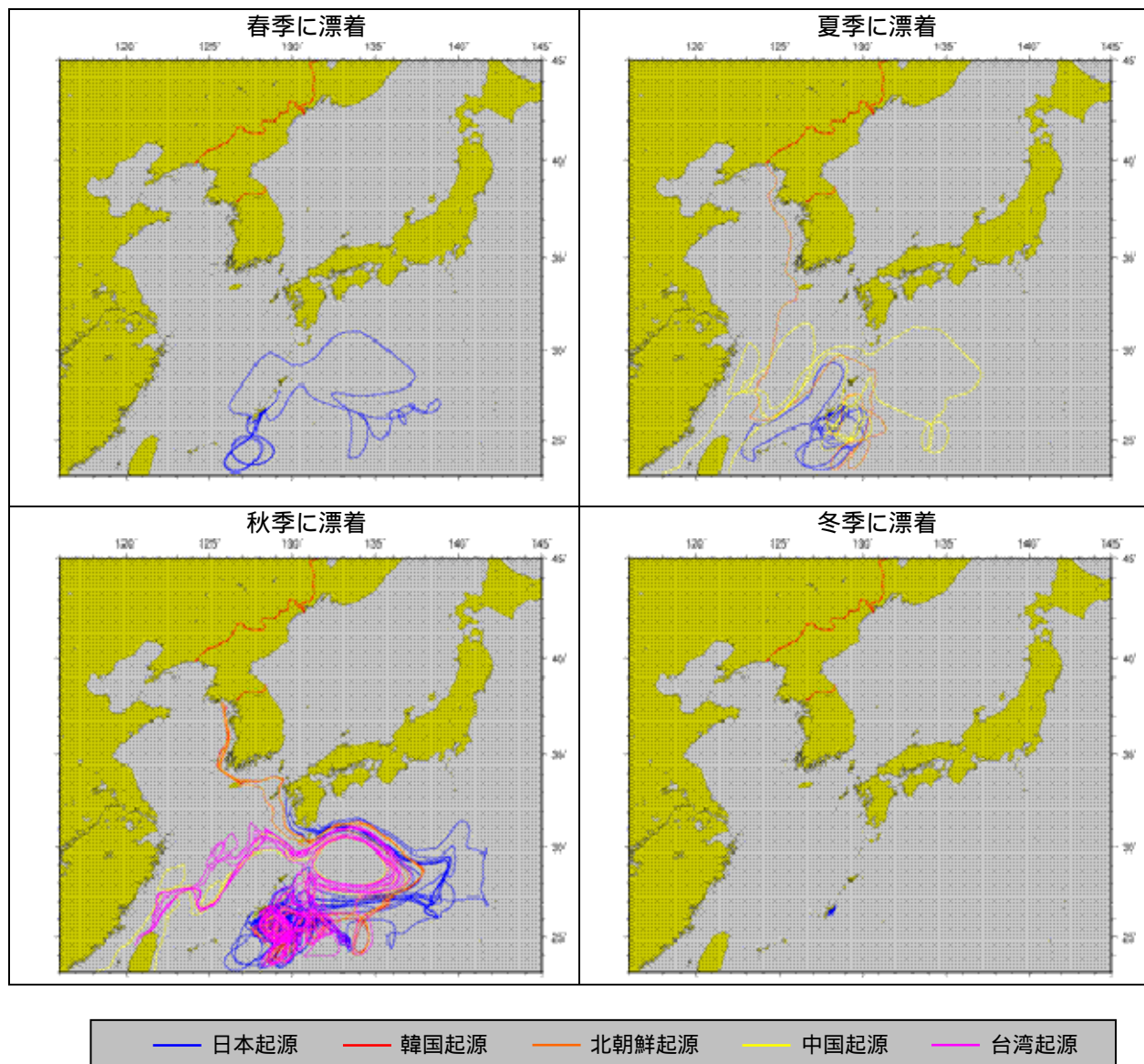
<出典:国際的削減方策調査>

図 3.5-1 ライターの流出地別割合



<出典：国際的削減方策調査>

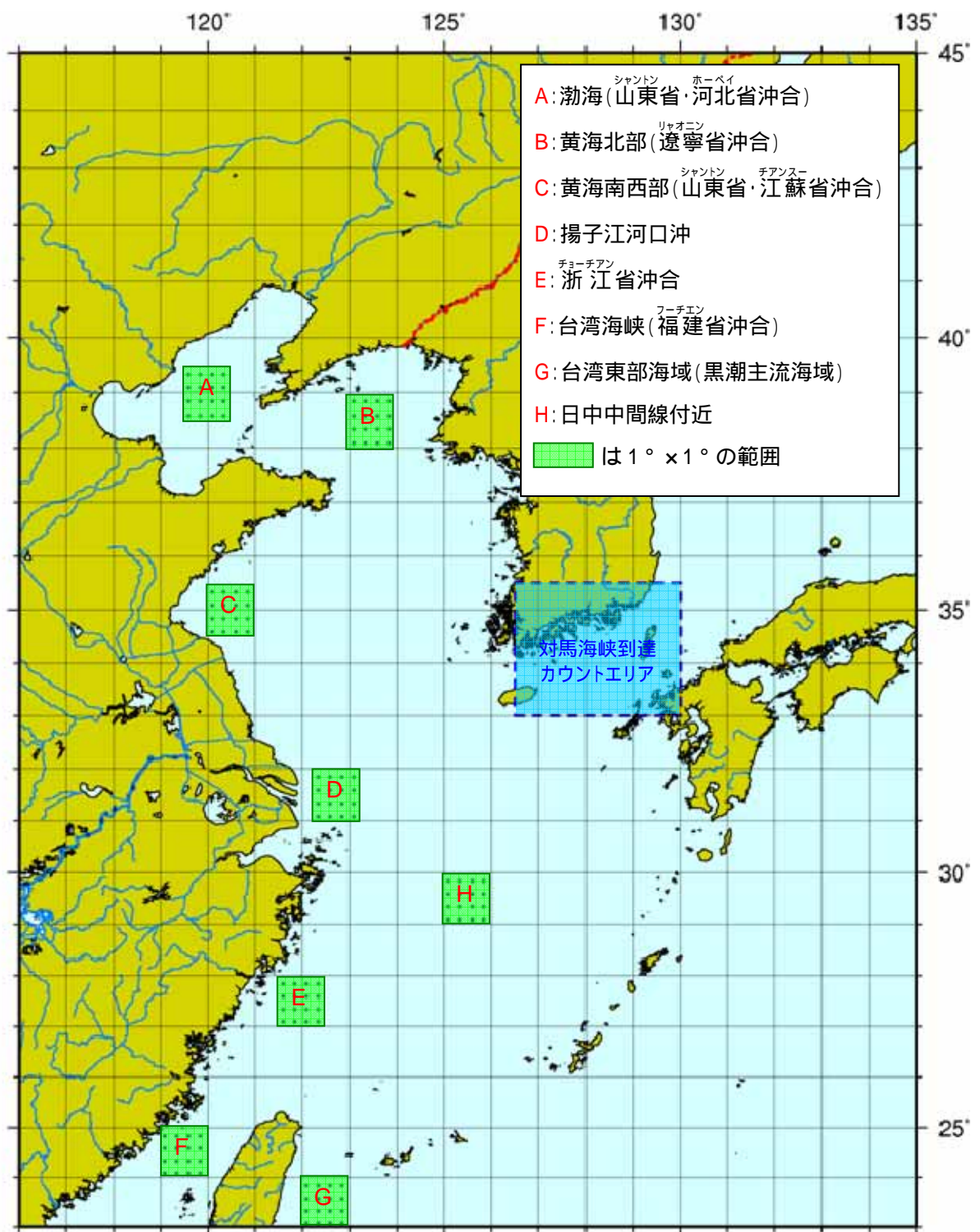
図 3.5-2 ライター投入条件



— 日本起源 — 韓国起源 — 北朝鮮起源 — 中国起源 — 台湾起源

<出典:国際的削減方策調査>

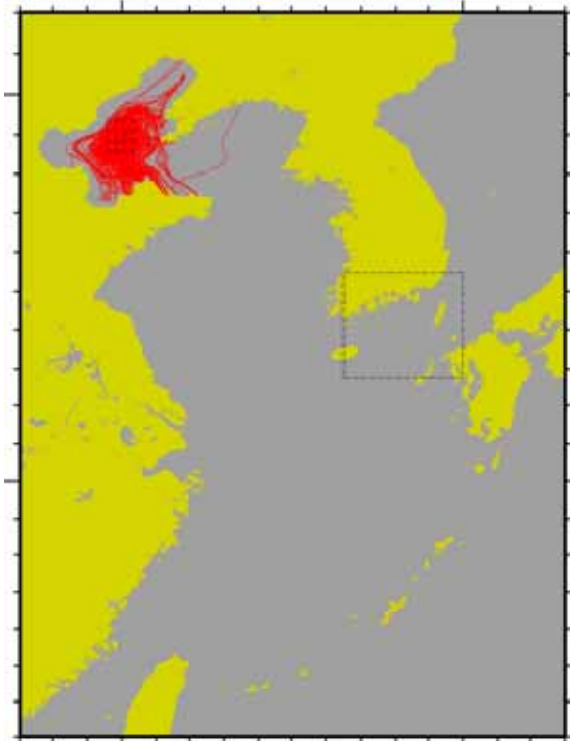
図 3.5-3 沖縄に漂着したゴミの漂流経路



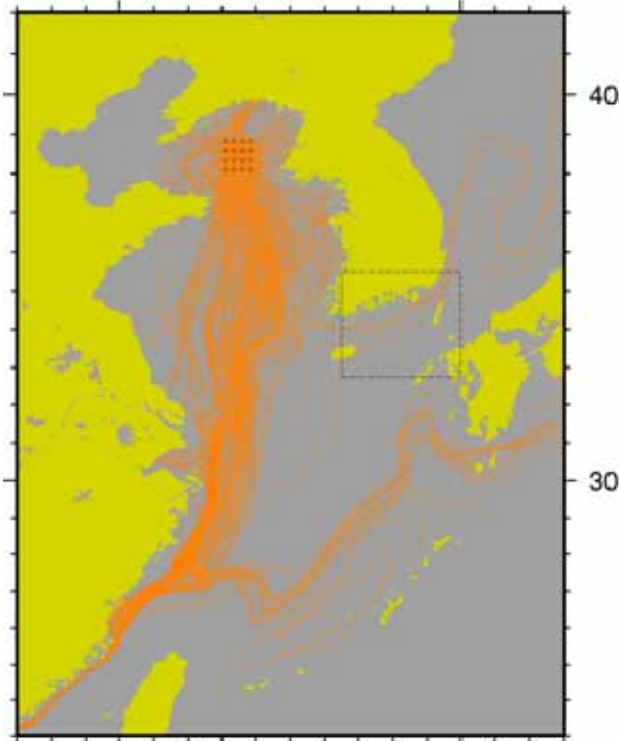
<出典：国際的削減方策調査>

図 3.5-4 漁業用フロートの投入位置

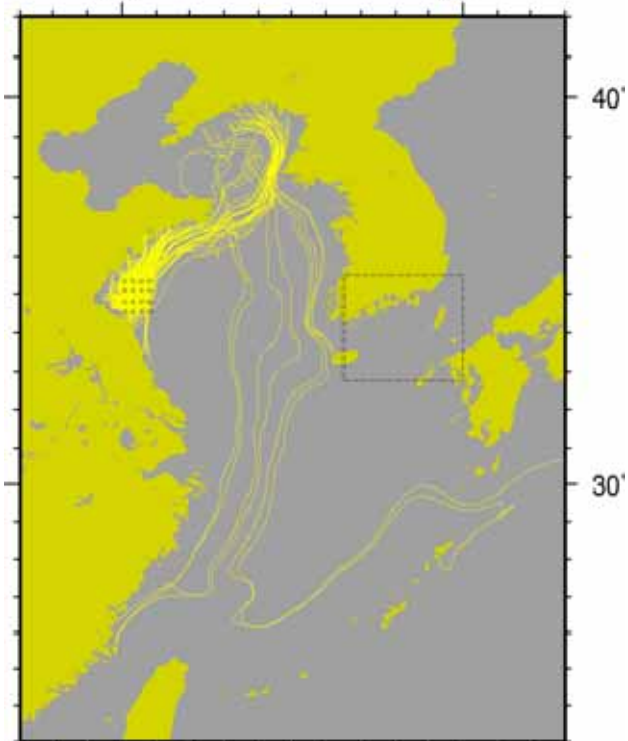
エリア A 渤海(山東省・河北省沖合)
シャントン ホーベイ
120° 130°



エリア B 黄海北部(遼寧省沖合)
リャオニン
120° 130°

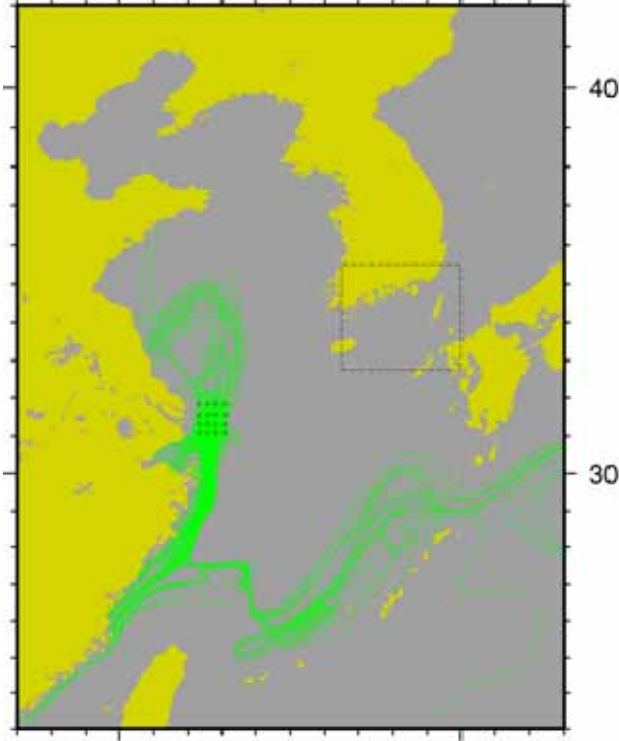


エリア C 黄海南西部(山東省・江蘇省沖合)
シャントン チアンスー
120° 130°



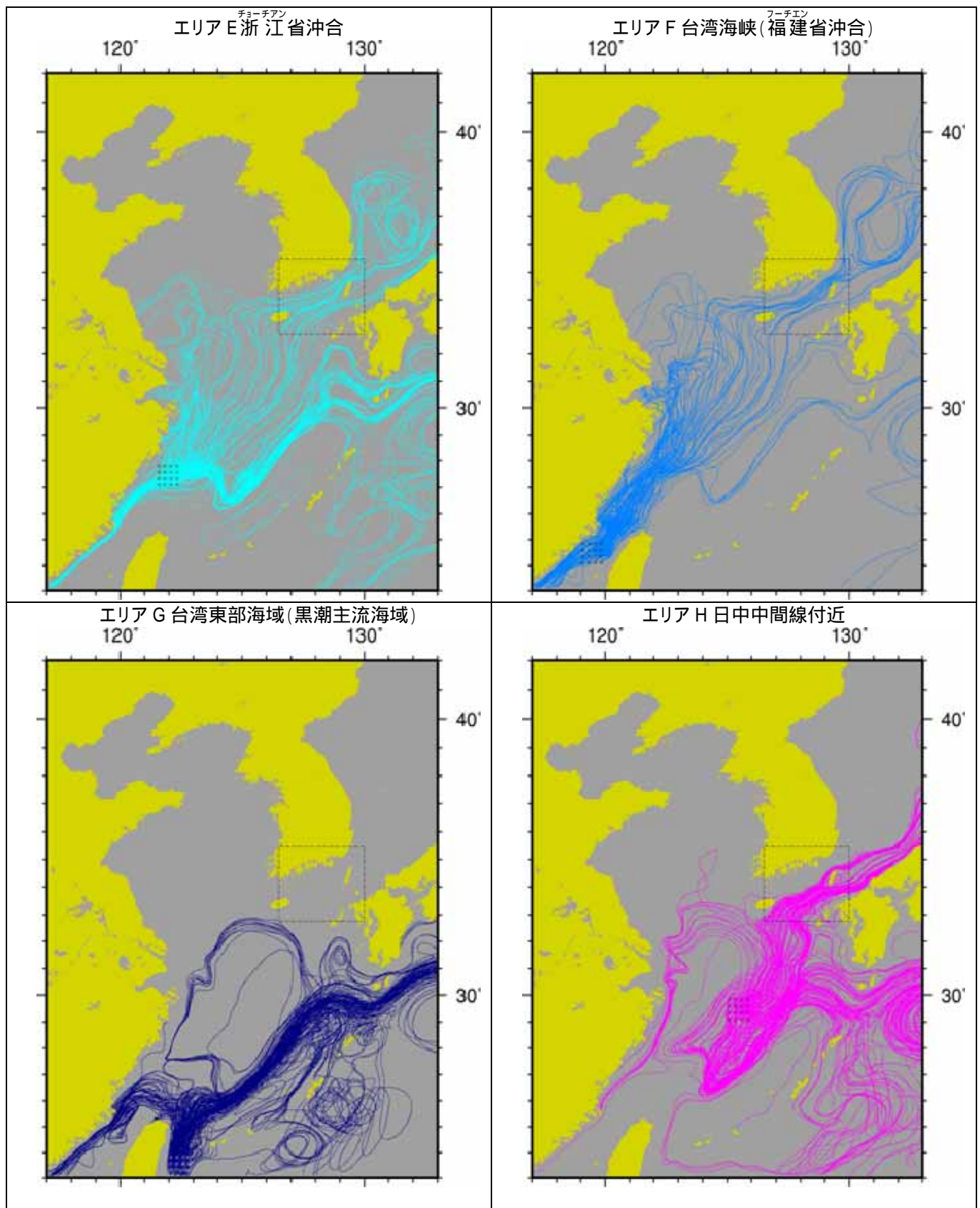
エリア D 揚子江河口沖

120° 130°



<出典：国際的削減方策調査>

図 3.5-5(1) 漁業用フロートの投入エリア別漂流経路



<出典：国際的削減方策調査>

図 3.5-5(2) 漁業用フロートの投入エリア別漂流経路

